

sur les solutions ensemblistes de l'équation de Yang-Baxter

Victoria Lebed
(avec Leandro Vendramin)
06/10/15
Caen

- Plan:
- ① Trombinoscope
 - ② Shells associées
 - ③ Théories (co-)homologiques
- } outils graphiques communs

① Trombinoscope

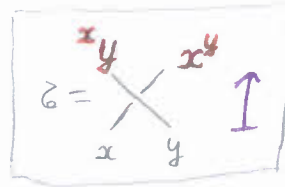
Solution ensembliste de l'YBE ^{déf}:

(ici: = tressage)

ensemble X & $X \times X \xrightarrow{\zeta} X \times X$ t. q.

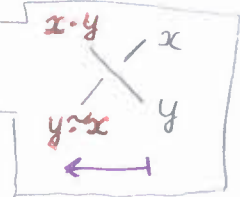
$$\zeta_1 \zeta_2 \zeta_1 = \zeta_2 \zeta_1 \zeta_2 : X^{\times 3} \rightarrow X^{\times 3}$$

où $\zeta_1 = \zeta \times Id_X$, $\zeta_2 = Id_X \times \zeta$



Tressage non-dégénéré à gauche ^{déf}: $X \xrightarrow{\zeta} X$
 $x \mapsto x^y$
 à droite ^{déf}: $X \xrightarrow{\zeta} X$
 $y \mapsto x^y$

sont bijectives



Birack ^{déf}: tressage inversible non-dégénéré (Fenn-Rourke-Sanderson '92).

Exemples:

S) shell: ens. X & $X \times X \xrightarrow{\Delta} X$ t. q.

$$(x \Delta y) \Delta z = (x \Delta z) \Delta (y \Delta z) \quad (AD)$$

rack! & $X \xrightarrow{\Delta} X$ sont bijectives
 $x \mapsto x \Delta y$

quandle: & $x \Delta x = x$

(Joyce, Matveev '82)

Ex.: • gpe X , $x \Delta y = y^{-1} x y$

• $X \xrightarrow{f} X$, $x \Delta y = f(x)$

ζ_{Δ} est un tressage sur X

$\Leftrightarrow \zeta_{\Delta}$ inversible $\Leftrightarrow \zeta_{\Delta}$ N.D.G.

$\Leftrightarrow \zeta_{\Delta}$ birack

$\Leftrightarrow (x, x) \xrightarrow{\zeta_{\Delta}} (x, x)$

Rmq: tressage alternatif $\zeta'_{\Delta} =$

C) cycle set: ens. X & $X \times X \xrightarrow{\cdot} X$ t. q.

$$(x \cdot y) \cdot (x \cdot z) = (y \cdot x) \cdot (y \cdot z)$$

& $X \xrightarrow{\cdot} X$ sont bijectives
 $y \mapsto x \cdot y$

C.S non-dégénéré: & $X \rightarrow X$ est bijective
 $x \mapsto x \cdot x$

(Etingof-Schedler-Soloviev '99, Rump '05)

Ex.: • $X \xrightarrow{f} X$, $x \cdot y = f(y)$

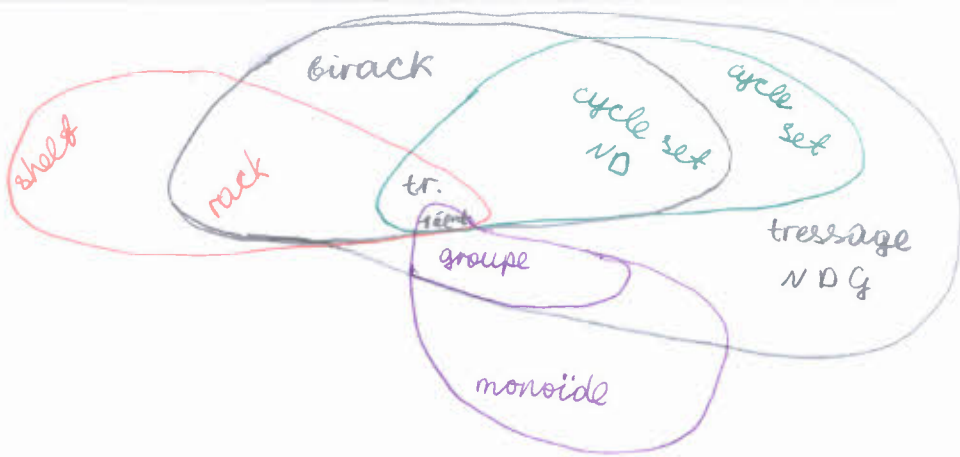
ζ_{\cdot} est un tressage sur X

• $\zeta_{\cdot}^2 = Id$

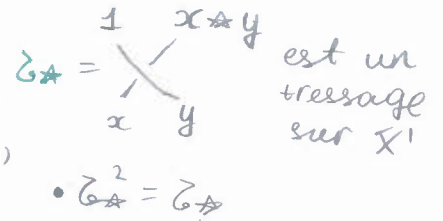
• N.D.G.

$\Leftrightarrow \zeta_{\cdot}$ N.D.D $\Leftrightarrow \zeta_{\cdot}$ birack

T) tressage trivial: $\zeta(x, y) = (y, x)$



M) monoïde $(X, *, 1)$, associativité pour $*$ \iff (si 1 est l'élément neutre)



(L. '13)

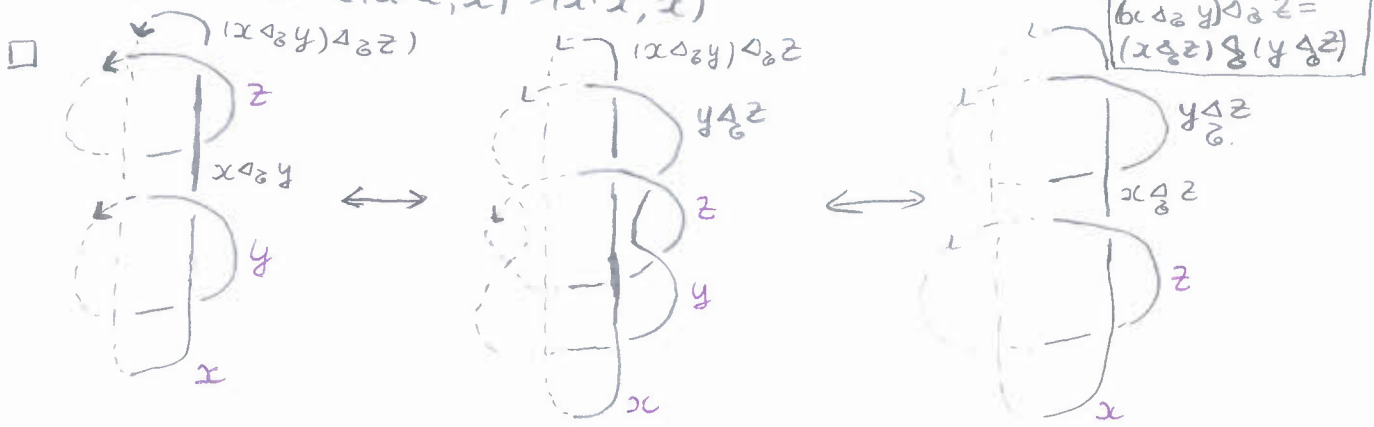
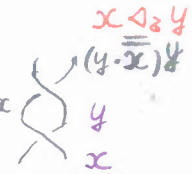
groupe $\implies \sigma_* \text{ ND } G$

2) shelves associés

Fixons un tressage ND G (X, σ) .

Prop. (L.-V. '15) : X porte la structure de shelf suivante :

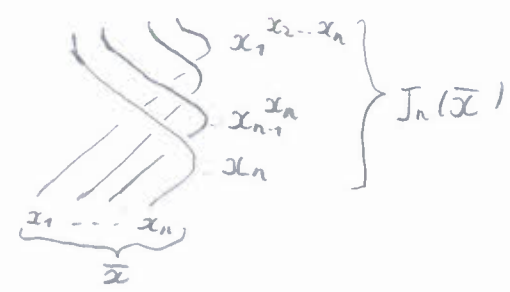
- (X, Δ_σ) rack $\iff \sigma$ inversible
- (X, Δ_σ) trivial $\iff \sigma^2 = \text{Id}$ ($x \Delta_\sigma y = x$)
- $x \Delta_\sigma x = x \iff \sigma(x \cdot x, x) = (x \cdot x, x)$



Application(s) guitar ^{def}

$J_n : X^{1 \times n} \xrightarrow{\sim} X^{n \times 1}$

$(x_1, \dots, x_n) \mapsto \begin{pmatrix} x_1 & x_2 & \dots & x_n \\ \parallel & & & \\ (x_1, x_2, \dots, x_n) \end{pmatrix} \begin{matrix} x_n \\ x_{n-1} \\ \dots \\ x_1 \end{matrix}$

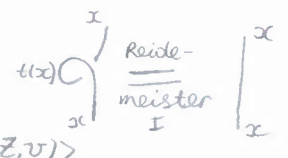


Prop.: $\forall n, \forall 1 \leq i \leq n-1$, on a $\begin{matrix} X^{n \times 1} & \xrightarrow{J_n} & X^{n \times 1} \\ \downarrow \sigma_i & & \downarrow \sigma_i \\ X^{n \times 1} & \xrightarrow{J_n} & X^{n \times 1} \end{matrix}$ où $\sigma_i = \sigma_i \Delta_\sigma$.

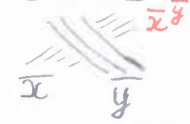
Cor.: σ & σ' donnent des actions $B_n \curvearrowright X^{n \times 1}$ isomorphes.

$\Delta (X, \sigma) \not\cong_{\text{en tant que tressages}} (X, \sigma')$ en général.

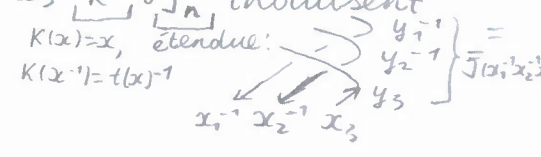
Tressage. • RI-compatible: $\exists X \xrightarrow{t} X'$ t.q. $\partial(t(x), x) = (t(x), x)$.
 • faiblement RI-compatible: $\exists X \xrightarrow{t} X'$



(semi-) groupe structural de (X, ∂) : $(S)g_{X, \partial} = \langle X \mid xy = zv, \partial(x, y) = (z, v) \rangle$.
 Thm: 1) Les J_n induisent un 1-cocycle bijectif $sg_{X, \partial} \xrightarrow{J} sg_{X, \partial'}$.
 $\bar{J}(\bar{x}\bar{y}) = \bar{J}(\bar{x})\bar{J}(\bar{y})$



2) Si (X, ∂) est un birack RI-compatible, alors les $K^{xn} \circ J_n$ induisent un 1-cocycle bijectif $g_{X, \partial} \xrightarrow{\sim} g_{X, \partial'}$.



Exemples:

- S) Pour un rack (X, \triangleleft) , on a $\triangleleft_{\partial} = \triangleleft$; $\partial \xrightarrow{J_n} \partial'$; RI-compatible $\Leftrightarrow x \triangleleft x = x$ ($t(x) = x$).
- c) Pour un cycle set (X, \circ) , \triangleleft_{∂} est triviale, $\partial \xrightarrow{J_n} \text{flip}$; RI-compatible \Leftrightarrow non-dég ($t(x) = x \cdot x$); $(x, y) \mapsto (y, x)$.
- 1) $sg_{X, \partial}$ est le (semi-)gpe ab. libre sur X' .
- M) Pour un monoïde $(X, *, 1)$, on a $x \triangleleft_{\partial} y = y$; $\partial'(x, y) = (x, x)$; $J_n(x_1, \dots, x_{n-1}, x_n) = (x_1 * \dots * x_{n-1}, \dots, x_{n-1} * x_n, x_n)$.
 $sg_{X, \partial} \cong X'$; $sg_{X, \partial'} \cong X'$
 $(x_1, \dots, x_n) \mapsto x_1 * \dots * x_n$; $(x_1, \dots, x_n) \mapsto x_1$
 RI-compatible $\Leftrightarrow \#X' = 1$.

En général, ∂' est plus simple que ∂ .

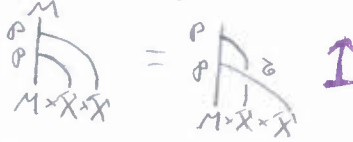
Rmq: Des cas particuliers de certains résultats ci-dessus se trouvent dans e.g. pour les cycle sets Etingof-Schedler-Soloviev '99, Lu-Yan-Zhu '00, Soloviev '00; leurs preuves sont souvent techniques et n'utilisent pas d'outils graphiques.

③ Théories (co-)homologiques

Fixons un tressage (X, \mathcal{G}) ;

un (X, \mathcal{G}) -module à droite $(M, M \times X \xrightarrow{\rho} M)$

i.e., on a

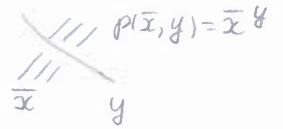


un (X, \mathcal{G}) -module à gauche $(N, X \times N \xrightarrow{\lambda} N)$

un gpe abelien A .

Exemples:

- 1) module trivial: $M = \{*\}$
- 2) modules adjoints: $M = X^{*k}$

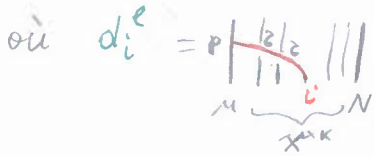


Posons $C_k(M, X, N) = \underbrace{M \times X^{*k} \times N}_{\text{ensemble}}$, $C_k(M, X, N; A) = \underbrace{A \times M \times X^{*k} \times N}_{\text{gpe abelien}}$

Théorie 1

Thm (Carter-Elhamdadi-Saito '04, L.'13):

On a une structure pré-cubique $(C_k, d_{k,i}^e, d_{k,i}^r)$,



$$d_i^r = \text{[diagrammatic representation]} : C_k \rightarrow C_{k-1}, \quad 1 \leq k, \quad 1 \leq i \leq k.$$

$$d_i^e d_j^s = d_{j-1}^s d_i^e \quad \forall i < j, \quad \varepsilon, \delta \in \{e, r\}.$$

i.e., deux structures pré-simpliciales compatibles entre elles sur $C_k(M, X, N, A)$.

Cre: $\forall \alpha, \beta \in \mathbb{Z}, \mathcal{J}^{(\alpha, \beta)} = \sum_{i=1}^k (-1)^{i-1} d_{k,i}^e + \beta \sum_{i=1}^k (-1)^{i-1} d_{k,i}^r$

Rmq: La présentation graphique permet d'établir certaines propriétés des théories obtenues, mais le calcul des homologie pour (X, \mathcal{G}) donnés est très compliqué.

Théorie 2

Thm (Fenn-Kourke-Sanderson '92, Coniceros-Elhamdadi-Green-Nelson '14; pour les bivacks, sans coefficients; L.-V. '15):

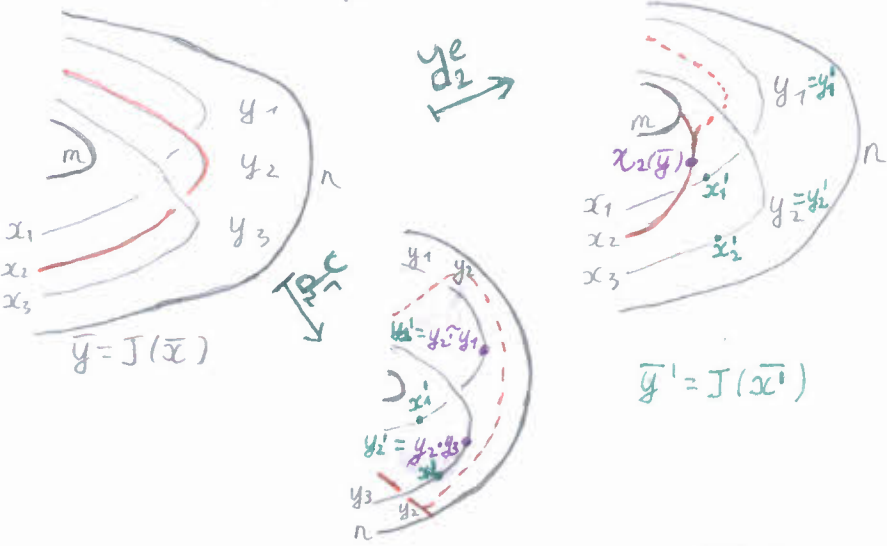
Si \mathcal{G} est ND \mathcal{G} , alors on a une structure pré-cubique $(C_k, \check{d}_{k,i}^e, \check{d}_{k,i}^r)$,

$$\text{où } (m, y_1, \dots, y_k, n) \xrightarrow{\check{d}_i^e} (p(m, x_i(\bar{y})), \dots, \check{y}_i, \dots, n)$$

$$x_i: \bar{y} \mapsto x_i \dots x_{i-1} x_i, \quad \bar{x} = J^{-1}(\bar{y})$$

Cre: différentielles $\check{\mathcal{J}}^{(\alpha, \beta)}$ sur $C_k(M, X, N, A)$.

Rmq: Une théorie plus adaptée au calcul. Version graphique:



Thm (L.-V. '15):

$$(C_k, d_i^e, d_i^r) \xrightarrow[\text{iso de str. Pré-cubiques.}]{\text{Id}_M \times J_k \times \text{Id}_N} (C_k, \check{d}_i^e, \check{d}_i^r)$$

$$\text{Cre: } (C_k, \check{\mathcal{J}}^{(\alpha, \beta)}) \xrightarrow[\text{c-xes de chaines}]{\text{iso de}} (C_k, \check{\mathcal{J}}^{(\alpha, \beta)})$$

Rmq: Constructions & résultats analogues en cohomologie.

Thm (L.-V. '15): Si δ est VDG & faiblement RI-compatible, et

les applicat^{ns} $M \xrightarrow{p(\cdot, x)} M$ admettent toutes des inverses, notées $\hat{p}(\cdot, x)$

alors on a une structure cubique oblique (C_k, d_k^e, d_k^r, S_k) , où

$S_k: C_k \rightarrow C_{k+1}$, $1 \leq k$, $1 \leq i \leq k$ (dégénérescences)

$(m, \bar{y}, n) \mapsto (\hat{p}(m, t(x_i(\bar{y}))), y_1, \dots, y_{i-1}, y_i, y_i, y_{i+1}, \dots, y_k, n)$.

Cor (L.-V. '15): décomposition de structures cubiques obliques (& de c-xes de chaînes)

$C_k = C_k^D \oplus C_k^N$
 $C_k^D = \sum_{i=1}^{k-1} A \text{Im } S_i$
 $C_k^N = \text{Im } \eta_k$

partie dégénérée $= \sum_{m, y_i, n_i} A(m, y_1, \dots, y_{i-1}, y_i, y_i, y_{i+1}, \dots, n)$
 partie normalisée

$\eta_k = (\text{Id} - S_1 d_2^e) \dots (\text{Id} - S_{k-1} d_k^e)$

$d_i^e S_j = \begin{cases} S_{j-1} d_i^e, & i < j \\ S_j d_{i-1}^e, & i > j+1 \end{cases} \quad \varepsilon \in \{e, r\}$

$d_i^r S_i = d_{i+1}^r S_i$

$d_i^e S_i = d_{i+1}^e S_i = \text{Id}$

$S_i S_j = S_{j+1} S_i, \quad i \leq j$

($\delta: [0, 1]^k, \hat{S}_i: \bar{x} \mapsto (\dots, x_i + x_{i+1} - x_i x_{i+1}, \dots)$)

$\delta_i^e: \bar{x} \mapsto (\dots, x_{i-1}, 0, x_i, \dots)$ x_i

$\delta_i^r: \bar{x} \mapsto (\dots, x_{i+1}, 1, x_i, \dots)$ x_i

structure cubique classique: $\hat{S}_i: \bar{x} \mapsto (\dots, \hat{x}_i, \dots)$ x_i

Rmq: Pour les c-xes $(C_k, \hat{S}_k^{(a, b)})$, on a une décomposⁿ

$C_k = J^{-1} C_k^D \oplus J^{-1} C_k^N$
 $J^{-1} C_k^D = \sum_{m, \bar{x}, n, i} A(m, x_1, \dots, x_{i-1}, t(x_i), x_i, x_{i+1}, \dots, n)$

Rmq: Si l'action ρ est triviale, alors $\eta: (m, \bar{y}, n) \mapsto (m, y_1, y_2 - y_1, \dots, y_k - y_{k-1}, n)$
 $\rho(m, x) = m$

Exemples: s) Pour un rack (X, Δ) , on a

$d_i^e: (m, \bar{x}, n) \mapsto (m \triangleleft x_i, x_i \triangleleft x_{i+1}, \dots, x_{i-1} \triangleleft x_i, x_{i+1}, \dots)$
 $d_i^r: (m, \dots, \hat{x}_i, \dots, (x_i \triangleleft x_{i+1} \dots x_k) \triangleright n)$
 $\hat{S}_i^e: (m \triangleleft (x_i \triangleright x_{i+1} \dots x_k), \dots, \bar{x}_i, \dots)$
 $\hat{S}_i^r: (m, x_1 \hat{\triangleright} x_i, \dots, x_{i-1} \hat{\triangleright} x_i, x_{i+1}, \dots, x_k, x_i \triangleright n)$

$\partial_k^{(1,0)}$: homologie auto-distributive à 1 terme.
 $\partial_k^{(1,-1)}$: homologie de rack.

ici $x \mapsto x \hat{\Delta} y$ est l'inverse de $x \mapsto x \Delta y$

on retrouve des résultats de Przytycki '11. Si en plus (X, Δ) est un quandle, alors on a des dégénérescences

$S_i: (m, \bar{x}, n) \mapsto (m \hat{\Delta} (x_i \hat{\triangleright} x_{i+1} \dots x_k), \dots, x_i, x_i, \dots)$

pour $(C_k, \hat{d}_i^e, \hat{d}_i^r)$, et l'on retrouve la décomposition $C_k = C_k^D \oplus C_k^N$ de Litherland-Nelson '03; $\partial_k^{(1,-1)}$ C_k^D donnent l'homologie de quandle.

M) Pour un gpe $(X, \star, 1)$, on a
 $d_i^e: (m, \bar{x}, n) \mapsto \left\{ \begin{aligned} & (\dots, x_{i-1} \star x_i, \dots), \quad i \geq 2 \\ & (m \triangleleft x_1, x_2, \dots), \quad i = 1 \end{aligned} \right.$
 $d_i^r: (m, x_1, \dots, x_{i-1}, 1, \dots, 1, x_{i+1}, \dots, (x_k \triangleright n), \dots)$
 $y_i^e: (m, \dots, \hat{x}_i, \dots)$
 $y_i^r: ((m \triangleleft x_1) \triangleleft x_2^{-1}, x_3, \dots), \quad i = 1.$
 $S_i: (m, x_1 \star x_i^{-1}, \dots, x_{i-1} \star x_i^{-1}, 1, \dots, 1, x_i \triangleright n)$
 $\hat{S}_i: (\dots, x_i, x_i, \dots)$

On retrouve deux formes du complexe bar.

⚠ Le tressage $\hat{\Delta}$ est faiblement RI-compatible (et monoïde $(X, \hat{\Delta})$ avec $t(x) = 1$).

C) Pour un cycle set (X, \cdot) , on obtient une nouvelle théorie homologique (qui encode notamment les extensions de cycle sets).